

Hiver 2018

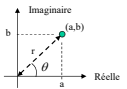
Analyse d'images IMN 259

Séries et transformées
de Fourier 1D

Par
Pierre-Marc Jodoin

Rappel nombres complexes

Si x est un nombre complexe $\Rightarrow x = a + jb$ $a, b \in \mathbb{R}$ et $j = \sqrt{-1}$



$$\left. \begin{array}{l} x = a + jb = r \cos \theta + jr \sin \theta \\ \text{Amplitude } r = \sqrt{a^2 + b^2} \\ \text{Phase } \theta = \arctan(b/a) \end{array} \right\}$$

Formule d'Euler:

$$re^{j\theta} = r \cos \theta + jr \sin \theta$$

Notation:

Algébrique: $x = a + jb$
Cartésienne: $x = (a, b)$
Polaire: $x = (r, \theta)$
Géométrique: $x = re^{j\theta}$
Trigonométrique: $x = r \cos \theta + jr \sin \theta$

Propriétés des nombres complexes

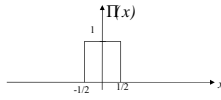
Addition	$(a + jb) + (c + jd) = (a + c) + j(b + d)$
Soustraction	$(a + jb) - (c + jd) = (a - c) + j(b - d)$
Multiplication	$K(a + jb) = Ka + jKb$ $(a + jb)(c + jd) = (ac - db) + j(ad + bc)$ $Re^{j\theta} * Qe^{j\alpha} = RQe^{j(\theta + \alpha)}$
Conjugué	$x = a + jb \Rightarrow \bar{x} = a - jb$ $x = re^{j\theta} \Rightarrow \bar{x} = re^{-j\theta}$
Notation complexe de sin et cos	$\sin \theta = \frac{1}{2j}(e^{j\theta} - e^{-j\theta})$ $\cos \theta = \frac{1}{2}(e^{j\theta} + e^{-j\theta})$

$a, b, c, d, \theta, r, K \in \mathbb{R}$

Quelques fonctions utiles pour la route

Fonction porte $\Pi(x) = \begin{cases} 1 & \text{si } |x| \leq 1/2 \\ 0 & \text{sinon} \end{cases}$

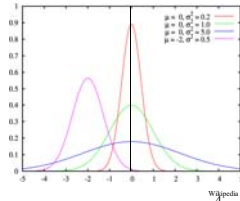
$$\int_{-\infty}^{\infty} \Pi(x) dx = 1$$



Fonction gaussienne (Normale) $N(x; \mu, \sigma) = \frac{1}{\sqrt{2\pi}\sigma} e^{-\frac{(x-\mu)^2}{2\sigma^2}}$

$$\int_{-\infty}^{\infty} N(x; \mu, \sigma) dx = 1$$

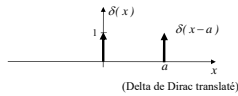
μ : moyenne
 σ : écart type
 σ^2 : variance



$\pm\sigma$	68.26894921371%
$\pm 2\sigma$	95.44997361036%
$\pm 3\sigma$	99.73002039367%

Quelques fonctions utiles pour la route

Delta de Dirac $\delta(x) = \begin{cases} \infty & \text{si } x=0 \\ 0 & \text{sinon} \end{cases}$



Propriétés

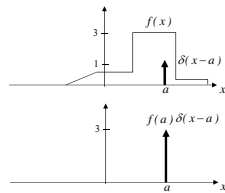
$$\int_{-\infty}^{\infty} \delta(x) dx = 1$$

$$\delta(x)f(x) = \delta(x)f(0)$$

$$\int_{-\infty}^{\infty} \delta(x)f(x) dx = f(0)$$

$$\delta(x-a)f(x) = \delta(x-a)f(a)$$

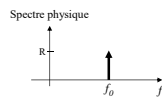
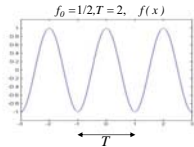
$$\int_{-\infty}^{\infty} \delta(x-a)f(x) dx = f(a)$$



5

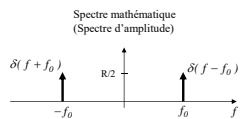
Notion de spectre

Soit un signal de fréquence f_0 , $f(x) = R \cos(2\pi f_0 x)$



Notation complexe du même signal

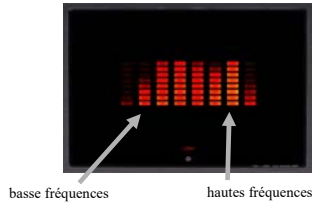
$$f(x) = \frac{R}{2} (e^{j2\pi f_0 x} + e^{-j2\pi f_0 x})$$



6

Notion de spectre

Le principe du spectre de fréquences est illustré par les « *equalizers* » présents sur plusieurs chaînes stéréo.



7

Série de Fourier

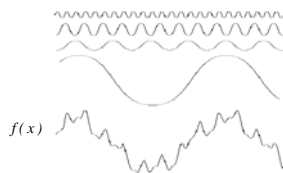
8

Série de Fourier de signaux périodiques

Soit un signal périodique $f(x)$ de période $T = 1/f_0$

$f(x)$ peut se représenter par une somme dénombrable (mais parfois infinie) de sinus et de cosinus.

Exemple:



Décomposition d'un signal $f(x)$ en sinusoïdes de base.
La fonction du bas est la somme des 4 fonctions du dessus.

9

Forme complexe d'une série de Fourier

Qu'avons nous jusqu'à présent?

$$f(x) = R_0 + \sum_{n=1}^{\infty} A_n \cos(2\pi n f_0 x) + \sum_{n=1}^{\infty} B_n \sin(2\pi n f_0 x) \quad (\text{série de Fourier})$$

$$= R_0 + \sum_{n=1}^{\infty} (C_n e^{j2\pi n f_0 x} + \bar{C}_n e^{-j2\pi n f_0 x}) \quad \text{où } C_n = \frac{1}{T} \int_{-T/2}^{T/2} f(x) e^{-j2\pi n f_0 x} dx$$

Si $f(x)$ est un signal réel (ce qui est le cas 99.999% du temps en traitement d'images) alors $\bar{C}_n = C_{-n}$ et

$$f(x) = \sum_{n=-\infty}^{\infty} C_n e^{j2\pi n f_0 x}$$

$$C_n = \frac{1}{T} \int_{-T/2}^{T/2} f(x) e^{-j2\pi n f_0 x} dx$$

$$C_0 = \frac{1}{T} \int_{-T/2}^{T/2} f(x) e^{-j0} dx = \frac{1}{T} \int_{-T/2}^{T/2} f(x) dx = R_0$$

13

En résumé

Si $f(x)$ est un signal périodique

$$f(x) = R_0 + \sum_{n=1}^{\infty} A_n \cos(2\pi n f_0 x) + \sum_{n=1}^{\infty} B_n \sin(2\pi n f_0 x)$$

$$A_n = \frac{2}{T} \int_{-T/2}^{T/2} f(x) \cos(2\pi n f_0 x) dx$$

$$B_n = \frac{2}{T} \int_{-T/2}^{T/2} f(x) \sin(2\pi n f_0 x) dx$$

En remplaçant les « cos » et les « sin » par des « exp »

$$f(x) = \sum_{n=-\infty}^{\infty} C_n e^{j2\pi n f_0 x} \quad C_n = \frac{1}{T} \int_{-T/2}^{T/2} f(x) e^{-j2\pi n f_0 x} dx$$

14

Transformée de Fourier

15

Propriétés d'une TF

si $f(x)$ est pair, alors $F(u)$ est réel ($I(u) = 0$)

$$\begin{aligned} F(u) &= \int_{-\infty}^{\infty} f(x) e^{-j2\pi ux} dx \\ &= \int_{-\infty}^{\infty} f(x) (\cos(2\pi ux) - j \sin(2\pi ux)) dx \\ &= \int_{-\infty}^{\infty} f(x) \cos(2\pi ux) dx - j \int_{-\infty}^{\infty} f(x) \sin(2\pi ux) dx \\ &= \int_{-\infty}^{\infty} f(x) \cos(2\pi ux) dx \end{aligned}$$

si $f(x)$ est impair, alors $F(u)$ est imaginaire ($R(u) = 0$)

si $f(x)$ est pair, alors $\mathfrak{I}(f(x)) = \mathfrak{I}^{-1}(F(u))$

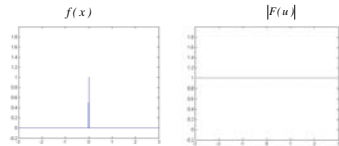
→ Exemples page suivante.

22

TF de fonctions utiles

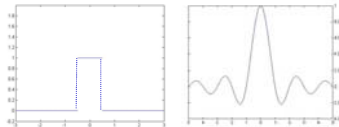
Delta de Dirac

$$\begin{aligned} \mathfrak{I}[\delta(x)] &= 1 \\ \mathfrak{I}^{-1}[1] &= \delta(u) \end{aligned}$$



Fonction « Porte »

$$\begin{aligned} \mathfrak{I}[\Pi(x)] &= \frac{\sin(\pi u)}{\pi u} = \text{sinc}(u) \\ \mathfrak{I}^{-1}[\text{sinc}(u)] &= \frac{\sin(\pi x)}{\pi x} = \text{sinc}(x) \end{aligned}$$



23

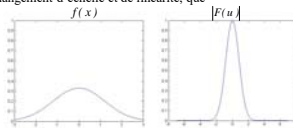
TF de fonctions utiles

Fonction Gaussienne (dont $\sigma = \frac{1}{\sqrt{2\pi}}$)

$$\begin{aligned} \mathfrak{I}[e^{-\pi x^2}] &= e^{-\pi u^2} \\ \mathfrak{I}^{-1}[e^{-\pi u^2}] &= e^{-\pi x^2} \end{aligned}$$

On peut démontrer, par les propriétés de changement d'échelle et de linéarité, que

$$\begin{aligned} \mathfrak{I}\left[\frac{1}{\sqrt{2\pi}\sigma} e^{-x^2/2\sigma^2}\right] &= e^{-2\pi^2 u^2 \sigma^2} \\ \mathfrak{I}^{-1}\left[\frac{1}{\sqrt{2\pi}\sigma} e^{-u^2/2\sigma^2}\right] &= e^{-2\pi^2 x^2 \sigma^2} \end{aligned}$$



24

Convolution

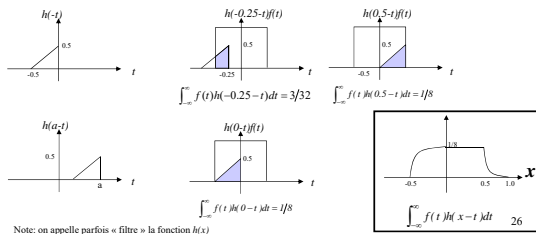
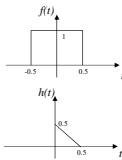
25

Convolution spatiale

Concept fondamental en traitement d'images, à la base de nombreux filtres.

Soient $f(t)$ et $h(t)$, deux signaux 1D.

$$(f * h)(x) = \int_{-\infty}^{\infty} f(t)h(x-t)dt$$



Note: on appelle parfois « filtre » la fonction $h(x)$

Convolution spatiale Vs TF

On peut facilement démontrer que:

$$\mathfrak{F}((f * h)(x)) = F(u)H(u)$$

où

$$\mathfrak{F}(f(x)) = F(u)$$

$$\mathfrak{F}(h(x)) = H(u)$$

de même,

$$\mathfrak{F}^{-1}(F * H(u)) = f(x)h(x)$$

en résumé:

$$\begin{array}{c}
 * \xrightarrow{\mathfrak{F}} \times \\
 \times \xleftarrow{\mathfrak{F}^{-1}} *
 \end{array}$$

27

Convolution

Autres propriétés

- Commutativité

$$f * h = h * f$$

- Associativité

$$(f * h) * g = f * (h * g)$$

- Distributivité

$$f * (h + g) = (f * h) + (f * g)$$

- Multiplication scalaire

$$a(f * h) = (af) * h = f * (ah)$$

28

Convolution discrète

29

Convolution discrète

La convolution

Cas continu

$$(f * h)(x) = \int_{-\infty}^{\infty} f(t)h(x-t)dt$$

Cas discret

$$(f * h)(x) = \sum_{t=-\infty}^{\infty} f(t)h(x-t)$$

Rappel théorème de la convolution

$$\mathfrak{Z}(f * h)(x) = F(u)H(u) \text{ et } \mathfrak{Z}^{-1}(F * H)(u) = f(x)h(x)$$

Note: ce théorème est valable pour les cas continu et discret

30

Convolution discrète

Exemple 1D

(signal d'entrée)

$f(x)$

$\begin{bmatrix} 1 & 2 & 3 & 4 & 5 \end{bmatrix}$

\uparrow
 $x=0$

(filtre)

$h(x)$

$\begin{bmatrix} 1 & 2 & 3 \end{bmatrix}$

\uparrow
 $x=0$

$(f^*h)(1)$

$\begin{array}{cccc} 1 & 2 & 3 & 4 & 5 \\ \times & \times & \times & & \\ 3 & 2 & 1 & & \end{array}$

$3+4+3$

$\begin{bmatrix} 10 & & & & \end{bmatrix}$

$(f^*h)(2)$

$\begin{array}{cccc} 1 & 2 & 3 & 4 & 5 \\ \times & \times & \times & & \\ 3 & 2 & 1 & & \end{array}$

$6+6+4$

$\begin{bmatrix} 16 & & & & \end{bmatrix}$

$(f^*h)(3)$

$\begin{array}{cccc} 1 & 2 & 3 & 4 & 5 \\ \times & \times & \times & & \\ 3 & 2 & 1 & & \end{array}$

$9+8+5$

$\begin{bmatrix} 16 & 22 & & & \end{bmatrix}$

31

Convolution discrète

Comment gérer les bords? Comment calculer $(f^*h)(0)$?

$x=-1$

$\begin{array}{cccc} ? & 1 & 2 & 3 & 4 & 5 \\ \times & \times & \times & & \\ 3 & 2 & 1 & & \end{array}$

Option 1 : Ajout de zéros

$f(x)$
 $\begin{bmatrix} 0 & 0 & 1 & 2 & 3 & 4 & 5 & 0 & 0 \end{bmatrix}$

$(f^*h)(x)$
 $\begin{bmatrix} 4 & 16 & 22 & 22 & 22 \end{bmatrix}$

Option 2 : Enroulement

$f(x)$
 $\begin{bmatrix} 4 & 5 & 1 & 2 & 3 & 4 & 5 & 1 & 2 \end{bmatrix}$

$(f^*h)(x)$
 $\begin{bmatrix} 19 & 10 & 16 & 22 & 23 \end{bmatrix}$

Option 3 : Réflexion

$f(x)$
 $\begin{bmatrix} 3 & 2 & 1 & 2 & 3 & 4 & 5 & 4 & 3 \end{bmatrix}$

$(f^*h)(x)$
 $\begin{bmatrix} 10 & 10 & 16 & 22 & 26 \end{bmatrix}$

Option 4 : Étirement

$f(x)$
 $\begin{bmatrix} 1 & 1 & 1 & 2 & 3 & 4 & 5 & 5 & 5 \end{bmatrix}$

$(f^*h)(x)$
 $\begin{bmatrix} 7 & 10 & 16 & 22 & 25 \end{bmatrix}$

32

Échantillonnage et périodicité

33

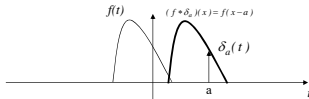
Échantillonnage et périodicité

On se souvient des propriétés du **delta de Dirac**:

$$\begin{aligned} \delta(x)f(x) &= \delta(x)f(0) \\ \delta(x-a)f(x) &= \delta(x-a)f(a) \end{aligned} \quad \text{et} \quad \int_{-\infty}^{\infty} \delta(x)f(x) = f(0) \quad \text{car} \quad \int_{-\infty}^{\infty} \delta(x) = 1$$

Étant donné , on peut affirmer que

$$(f * \delta)(x) = f(x) \quad \text{et} \quad (f * \delta_a)(x) = f(x-a) \quad \text{où} \quad \delta_a(x) = \delta(x-a)$$

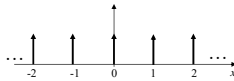


34

Échantillonnage et périodicité

Le **peigne de Dirac**

$$\mathbb{I}(x) = \sum_{n=-\infty}^{\infty} \delta(x-n)$$

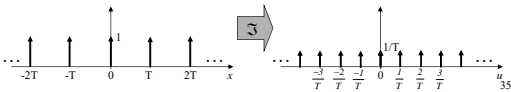


Une propriété intéressante :

$$\mathfrak{F}(\mathbb{I}(x)) = \mathbb{I}(u)$$

Suivant la propriété du **changement d'échelle**, la TF d'un peigne de Dirac de période T

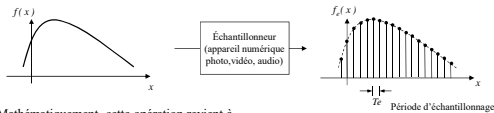
$$\mathfrak{F}(\mathbb{I}(Tx)) = \frac{1}{T} \mathbb{I}\left(\frac{u}{T}\right)$$



35

Échantillonnage et périodicité

La transformée de Fourier d'une fonction échantillonnée



Mathématiquement, cette opération revient à

$$\begin{aligned} f_s(x) &= f(x) \sum_{n=-\infty}^{\infty} \delta(x-nT_e) \\ &= \sum_{n=-\infty}^{\infty} f(x) \delta(x-nT_e) \end{aligned}$$

En prenant la TF de $f_s(x)$ on obtient le résultat suivant:

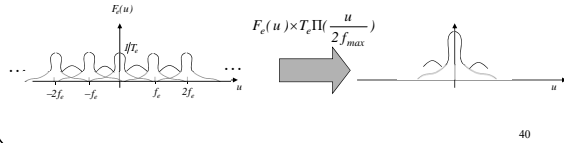
$$\begin{aligned} \mathfrak{F}(f_s(x)) &= \mathfrak{F}\left(\sum_{n=-\infty}^{\infty} f(x) \delta(x-nT_e)\right) \\ &= \sum_{n=-\infty}^{\infty} \mathfrak{F}(f(x) \delta(x-nT_e)) \\ &= \sum_{n=-\infty}^{\infty} \mathfrak{F}(f(x)) * \mathfrak{F}(\delta(x-nT_e)) \quad (\text{en vertu des propriétés de la convolution}) \end{aligned}$$

Échantillonnage et périodicité

Un signal $f(x)$ de fréquence maximale f_{max} est parfaitement déterminé par $f_e(x)$ lorsque

$$f_e \geq 2 f_{max} \quad (\text{Fréquence de Nyquist})$$

Lorsque $f_e < 2 f_{max}$ alors survient un problème de repliement de spectre mieux connu sous le nom d'**aliasing**.



40

Les faits saillants...

1. Les nombres complexes	$x = a + jb \Rightarrow re^{j\theta} = r \cos \theta + jr \sin \theta$
2. Si $f(x)$ est un signal périodique	$f(x) = R_0 + \sum_{n=1}^{\infty} A_n \cos(2\pi f_n x) + \sum_{n=1}^{\infty} B_n \sin(2\pi f_n x)$ $f(x) = \sum_{n=-\infty}^{\infty} C_n e^{j2\pi f_n x} \quad \text{avec } C_n = \frac{1}{T} \int_{-T/2}^{T/2} f(x) e^{-j2\pi f_n x} dx$
3. Si $f(x)$ est un signal aperiodique	$\mathfrak{F}[f(x)] = F(u) = \int_{-\infty}^{\infty} f(x) e^{-j2\pi u x} dx$ $\mathfrak{F}^{-1}[F(u)] = f(x) = \int_{-\infty}^{\infty} F(u) e^{j2\pi u x} du$
4. Convolution	$\mathfrak{F}(f * h)(x) = F(u)H(u)$ et $\mathfrak{F}^{-1}(F * H)(u) = f(x)h(x)$
5. Échantillonnage	Échantillonner un signal spatial revient à le dupliquer à l'infini dans le domaine spectral.
6. Nyquist	$f_e \geq 2 f_{max}$

41
